

## Кинетика нуклеации в геометрической финслер-лагранжевой модели фазовых переходов в ленгмюровских монослоях

Н.Г.Крылова<sup>1</sup>, Г.В.Грушевская<sup>2</sup>

<sup>1</sup> *Белорусский государственный аграрный технический университет, Минск, Беларусь*  
*e-mail: nina-kr@tut.by*

<sup>2</sup> *Белорусский государственный университет, Минск, Беларусь*  
*e-mail: grushevskaja@bsu.by*

Модификация поверхности тонкими наноструктурированными пленками востребована в нанoeлектронике, нанoфотонике и биосенсорике. Технология Ленгмюра-Блоджетт является одной из перспективных технологий, позволяющих формировать высокоупорядоченные наноразмерные объекты на основе органических амфифильных соединений [1]. Формирование таких структур реализуется при сжатии ленгмюровского слоя толщиной в одну молекулу (монослоя) в процессе двумерных (2D) фазовых переходов 1-го рода из состояния растянутой жидкости в жидкокристаллическое, а затем – в 2D кристаллическое состояние [2]. После чего монослой может быть перенесен на твердую подложку. Так как структура доменов сжатых монослоев на поверхности жидкой субфазы сохраняется при их переносе, теоретическое моделирование фазовых переходов в ленгмюровских монослоях является актуальной задачей. В настоящее время, описание 2D фазовых переходов реализуется в рамках теории среднего поля Ландау, или с использованием методов молекулярной динамики с полуэмпирическими парными потенциалами [3–5]. Однако, экспериментально установлено, что протекание 2D фазовых переходов существенно зависит от параметров субфазы и скорости сжатия [6, 7]. Эти эффекты обусловлены электрокапиллярными явлениями: поворотом диполей на границе раздела фаз и перераспределением плотности заряда двойного слоя Гельмгольца. При построении моделей 2D фазовых переходов первого рода электрокапиллярные явления не учитывались. Ранее [8–10] нами была предложена финслер-лагранжева геометрическая теория для описания динамики ленгмюровского монослоя.

Целью данной работы является исследование электрокапиллярных эффектов в кинетике нуклеации в ленгмюровском монослое в рамках финслер-лагранжевой геометрической теории.

Рассматривает модель нуклеации, когда каждый зародыш новой (2D кристаллической) фазы характеризуется своим временем релаксации  $\tau_i$ ; в пределе бесконечного числа времен релаксации возможен предельный переход:

$$\tau_i = \frac{\Delta t_i}{\Delta s} \quad \rightarrow \quad \tau \equiv \dot{\xi} = \frac{dt}{ds}, \quad (1)$$

где  $s$  – эволюционный параметр. Динамика такого метастабильного монослоя моделируется в расширенном конфигурационном пространстве  $(\vec{r}, \xi, \dot{\vec{r}}_\xi, \dot{\xi}_s, s)$ . Здесь  $\vec{r}$  – 2D радиус-вектор,  $\xi$  – временная координата, точками обозначены производные по эволюционному параметру  $s$ . Метрическая функция  $F$  пространства определяется из требования экстремальности геодезических в конфигурационном финслер-лагранжевом пространстве и задается в виде:

$$F^2 = A \frac{\dot{\xi}^3}{\dot{r}} + B \dot{\xi}^2 - C \frac{(\dot{r}^2 + r^2 \dot{\varphi}^2)}{2}, \quad (2)$$

где  $C = ma_c^2 n_c$ ,  $A(t, r)$  и  $B(t, r)$  – функции, определяемые видом эффективного  $U$  потенциала электрокапиллярных сил,  $a_c$  и  $n_c$  – размер и плотность критического зародыша.

На основе анализа процесса переориентации диполей двойного слоя Гельмгольца при сжатии монослоя со скоростью  $V$  нами был построен эффективный потенциал  $U$  в точке с координатами  $(r, \varphi)$  в момент времени  $t$  в виде:

$$U_1(\dot{r}, r, t; V) = -\tilde{k} \left[ P_1 e^{\frac{2Vt}{r}} - \frac{2}{3} (Vt)^5 \left( 6 - \frac{Vt}{r} \right) Ei \left[ \frac{2Vt}{r} \right] - \frac{V}{\dot{r}} \left( P_2 e^{\frac{2Vt}{r}} - \frac{4}{3} (Vt)^5 Ei \left[ \frac{2Vt}{r} \right] \right) \right], \quad (3)$$

где

$$P_1 = -\frac{3}{4} r^5 + (Vt) r^4 + \frac{3}{4} (Vt)^2 r^3 + \frac{5}{6} (Vt)^3 r^2 + \frac{11}{6} (Vt)^4 r - \frac{1}{3} (Vt)^5,$$

$$P_2 = r^5 + \frac{1}{2} (Vt) r^4 + \frac{1}{3} (Vt)^2 r^3 + \frac{1}{3} (Vt)^3 r^2 + \frac{2}{3} (Vt)^4 r, \quad \tilde{k} = \frac{q^2 k n_0^2}{5 \varepsilon \varepsilon_0 R_0^2},$$

и упрощенный потенциал

$$U_2(\dot{r}, r, t; V) = -K \left[ \left( P_3 - r^5 \frac{V}{\dot{r}} \right) e^{\frac{2Vt}{r}} - \frac{4}{45} (Vt)^5 \left( -1 + \frac{Vt}{r} \right) Ei \left[ \frac{2Vt}{r} \right] \right], \quad (4)$$

$$P_3 = -\frac{4}{3} r^5 + \frac{16}{15} (Vt) r^4 + \frac{1}{30} (Vt)^2 r^3 + \frac{1}{45} (Vt)^3 r^2 + \frac{1}{45} (Vt)^4 r + \frac{2}{45} (Vt)^5.$$

Тогда явный вид метрических параметров  $A$  и  $B$  для случая потенциала  $U_1$  (3) такой:

$$A = \tilde{p} V \left( P_2 e^{\frac{2Vt}{r}} - \frac{4}{3} (Vt)^5 Ei \left[ \frac{2Vt}{r} \right] \right), \quad B = \Lambda^2 - \tilde{p} \left( P_1 e^{\frac{2Vt}{r}} - \frac{2}{3} (Vt)^5 \left( 6 - \frac{Vt}{r} \right) Ei \left[ \frac{2Vt}{r} \right] \right),$$

для потенциала  $U_2$ :

$$A = \tilde{p} V r^5 e^{\frac{2Vt}{r}}, \quad B = \Lambda^2 - \tilde{p} \left( P_3 e^{\frac{2Vt}{r}} - \frac{4}{45} (Vt)^5 \left( -1 + \frac{Vt}{r} \right) Ei \left[ \frac{2Vt}{r} \right] \right),$$

$\tilde{p} = \frac{q^2 k}{5\epsilon\epsilon_0 n_c} \frac{n_0^2}{R_0^2}$ ,  $\Lambda$ ,  $k$  – феноменологические постоянные,  $q$  – заряд молекулы,  $R_0$ ,  $n_0$  – радиус и концентрация молекул в монослое в начальный момент времени.

Динамика системы определяется уравнениями Лагранжа-Эйлера:

$$\frac{dy^i}{ds} + 2G^i = 0, \quad G^i = \frac{1}{4} g^{il} \left\{ 2 \frac{\partial g_{jl}}{\partial x^k} - \frac{\partial g_{jk}}{\partial x^l} \right\} y^j y^k. \quad (5)$$

где  $g_{ij}(x^k, y^k) = \frac{1}{2} \frac{\partial^2 F^2}{\partial y^i \partial y^j}$ ,  $x^j = (t(s), r(s), \varphi(s))$  и  $y^j \equiv (\dot{\xi} = \frac{dt}{ds}, \dot{r}(s), \dot{\varphi}(s))$ .

Уравнения (5) решались численно. Результаты моделирования представлены на рис. 1.

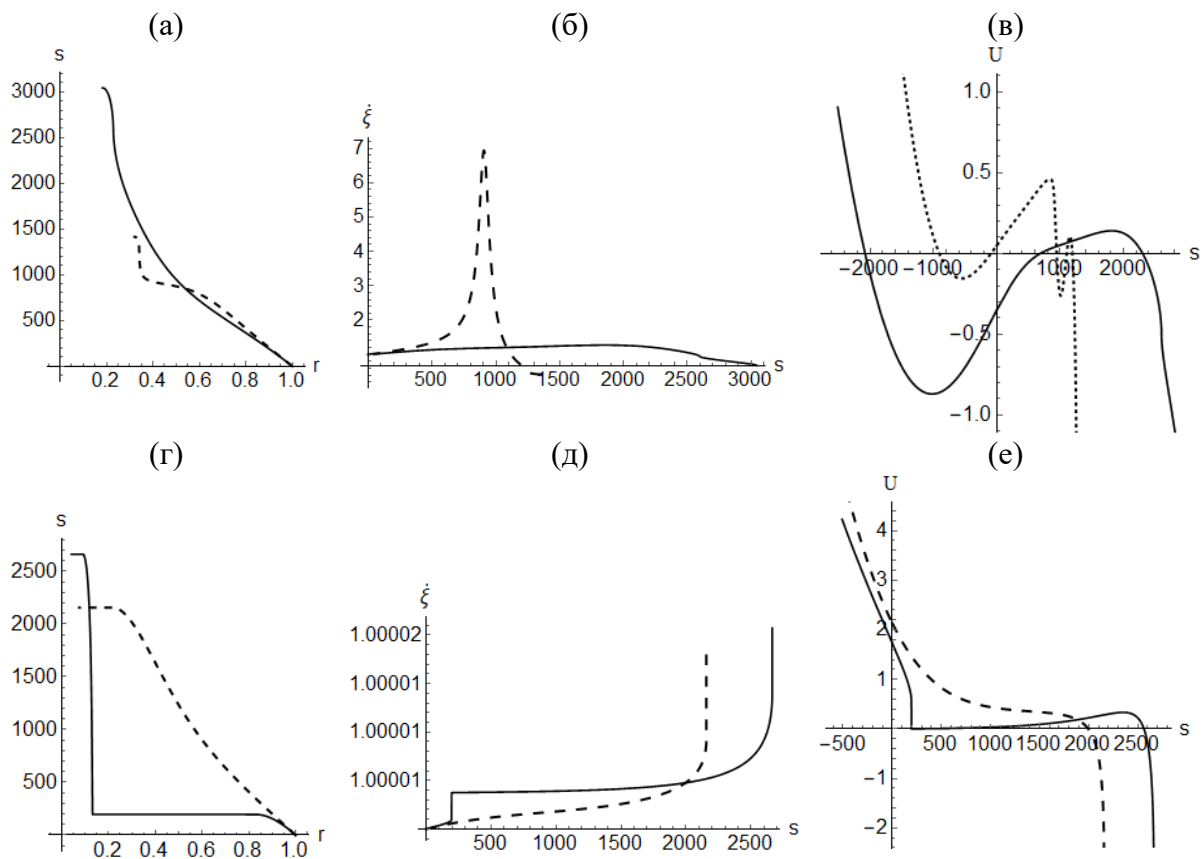


Рис.1 Изотермы сжатия  $s(r)$  (а, г), распределение времен релаксаций  $\dot{\xi}(s)$  (б, д) и потенциалы зародышей фазы  $U$  (в, е), рассчитанные вдоль геодезических в конфигурационном пространстве монослоя.

Расчеты выполнены для потенциалов  $U_1$  (а-в) и  $U_2$  (г-е), скоростей сжатия  $V = 1,2$  см/мин (сплошные кривые) и  $2,4$  см/мин (пунктирные кривые).

Как видно из рис.1б,д (сплошные линии), при малых скоростях  $V$  сжатия монослоя скорость нуклеации можно приблизительно считать постоянной. Образование зародышей происходит с размерами близкими к критическому  $\dot{\xi} = 1$ ; вид потенциалов при этом имеет единственный

минимум, характерный для метастабильного состояния системы (см. рис.1в, е). При больших скоростях сжатия ленгмюровский монослой дестабилизируется с энергией и скоростью, достаточными, чтобы преодолеть энергетический барьер нуклеации, состояние монослоя можно характеризовать как перенасыщение фазы. Точный учет электрокапиллярных эффектов в случае использования эффективного потенциала  $U_1$  показал, что при этом могут образовываться зародыши фаз с размерами значительно больше критического ( $\xi = 7$ ) за счет появления дополнительного локального минимума в потенциале (см. рис.1в). Зависимость потенциала  $U_2(s)$  при высоких скоростях сжатия  $V$  не имеет минимумов, как видно на рис.1е, вид потенциала типичен для гетерогенной нуклеации, когда при достаточно большом пересыщении нуклеация протекает безбарьерно [11]. Размеры образующихся зародышей фаз при этом возрастают с ростом времени, но остаются близкими к размеру критического зародыша. Анализ изотерм, полученных для больших и малых скоростей сжатия для разных модельных потенциалов, и сравнение с поведением экспериментальных кривых [6, 9] показывает, что потенциал  $U_1$  более точно описывает кинетику нуклеации в ленгмюровских монослоях.

Таким образом, электрокапиллярные явления на границе раздела фаз приводят к формированию зародышей фаз с размерами выше критического в условиях быстрого сжатия за счет появления дополнительного локального минимума в потенциале.

- [1] H. Möhwald, G. Brezesinski, *Langmuir* **32**, 10445 (2016).
- [2] Л. М. Блинов, *УФН* **155**, 443 (1988).
- [3] S. Karaborni, S. Toxvaerd, *J. Chem. Phys.* **96**, 5505 (1992).
- [4] V. M. Kaganer, H. Möhwald, P. Dutta, *Rev.Mod.Phys.* **71**, 779 (1999).
- [5] E. O'Connor, *Discontinuous molecular dynamics studies of model Langmuir monolayers*. Thesis, University of Prince Edward Island, Canada (2006).
- [6] V. B. Fainerman, D. Vollhardt, *J. Phys. Chem. B* **106**, 345 (2002).
- [7] J. Kmetko, A. Datta, G. Evmenenko, P. Dutta, *J. Phys. Chem. B* **105**, 10818 (2001).
- [8] V. Balan, H. Grushevskaya, N. Krylova, M. Neagu, *J. Nonlin. Phen. in Complex Sys* **19**, 223 (2016).
- [9] Н.Г. Крылова, Г.В. Грушевская, В.М. Редьков, *Вес. Нац. акад. наук Беларусі. Сер. фіз.-мат. навук.* **3**, 66 (2017).
- [10] V. Balan, H.V. Grushevskaya, N.G. Krylova, G.G. Krylov, *Applied Sciences* **22**, 94 (2020).
- [11] Ф. М. Куни, А. К. Щекин, А. П. Гринин, *УФН* **171**, 345 (2001).